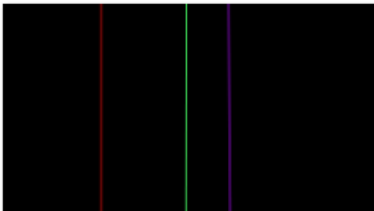


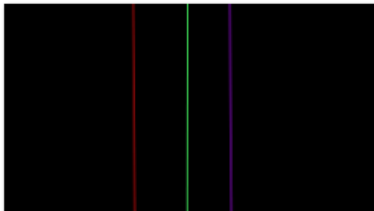
基于三色激光的水下坐标定位

Title : 定位方案1.0 - 基于三色激光的水下坐标定位

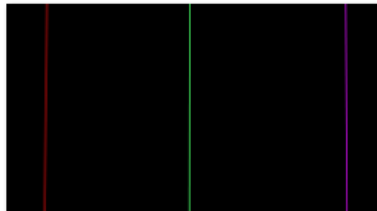
Date : 12/1/2018



001.png



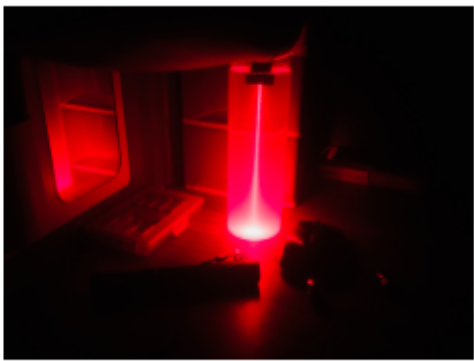
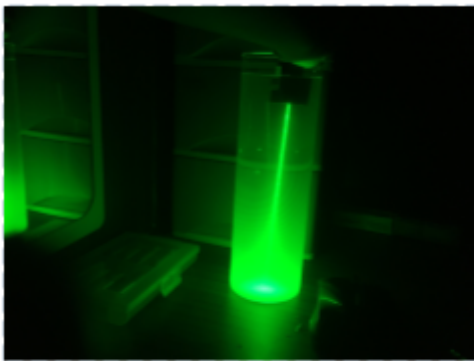
002.png



003.png

1. 定位方案简述

水下定位方案先是采用了基于三色激光的水下坐标定位。具体方案是将三根不同颜色的激光（红，绿，紫）从水面共面平行射入水中，三根激光柱此后位置不变，作为无人机位置参考标志。无人机在水下配合摄像头视觉获取（无人机利用摄像头在水中水平捕获到的画面是三个不同颜色的线）结合转换算法，在浑浊水域下可利用丁达尔效应进行较为精确的相对坐标定位。

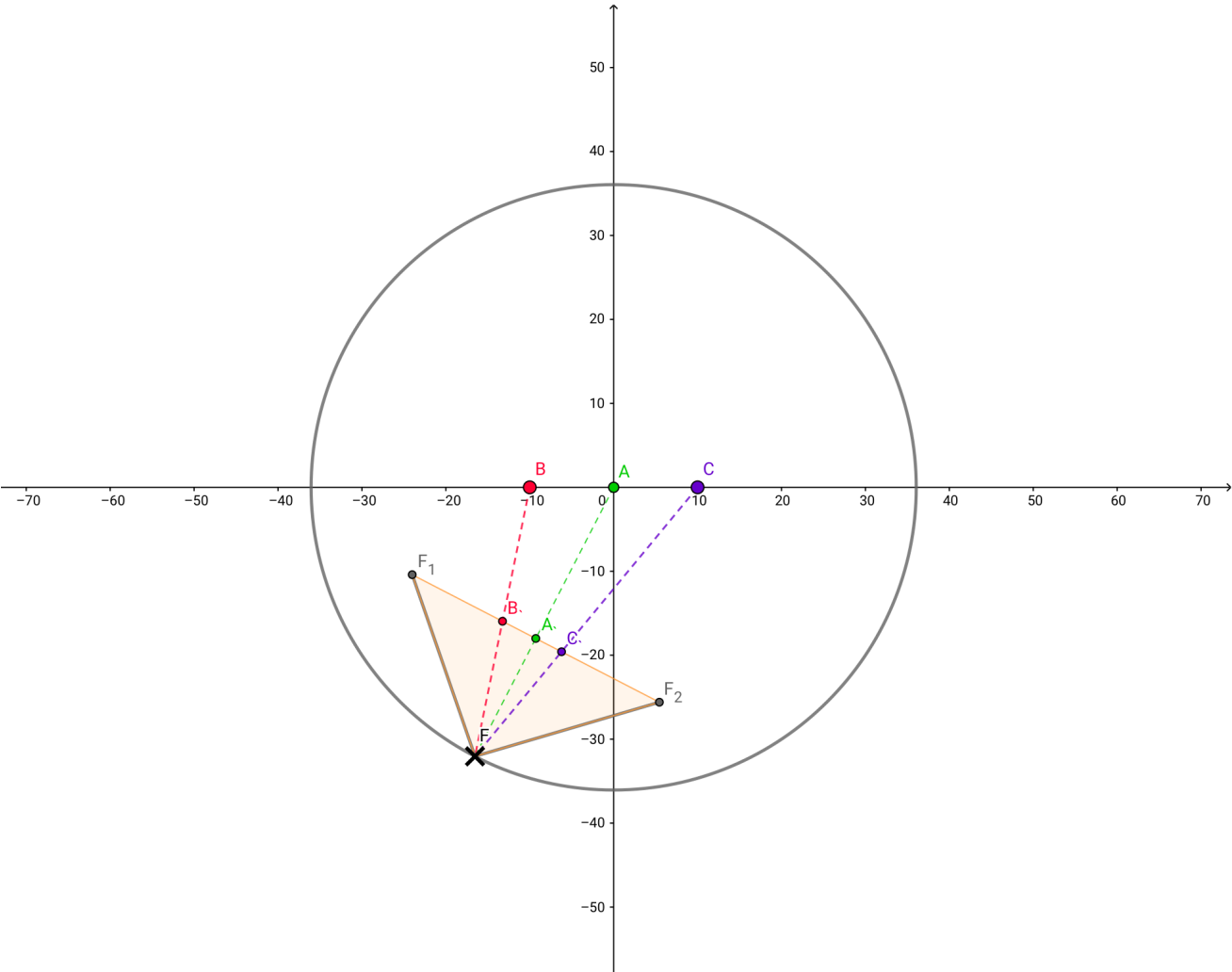


2. 定位方案优势

在浑浊等恶劣水域环境中，会给普通视觉方案造成很大影响。本方案可以实现在恶劣水域环境中远距离精确定位，以尽可能少的视觉数据，计算出相对坐标。

3. 实现原理

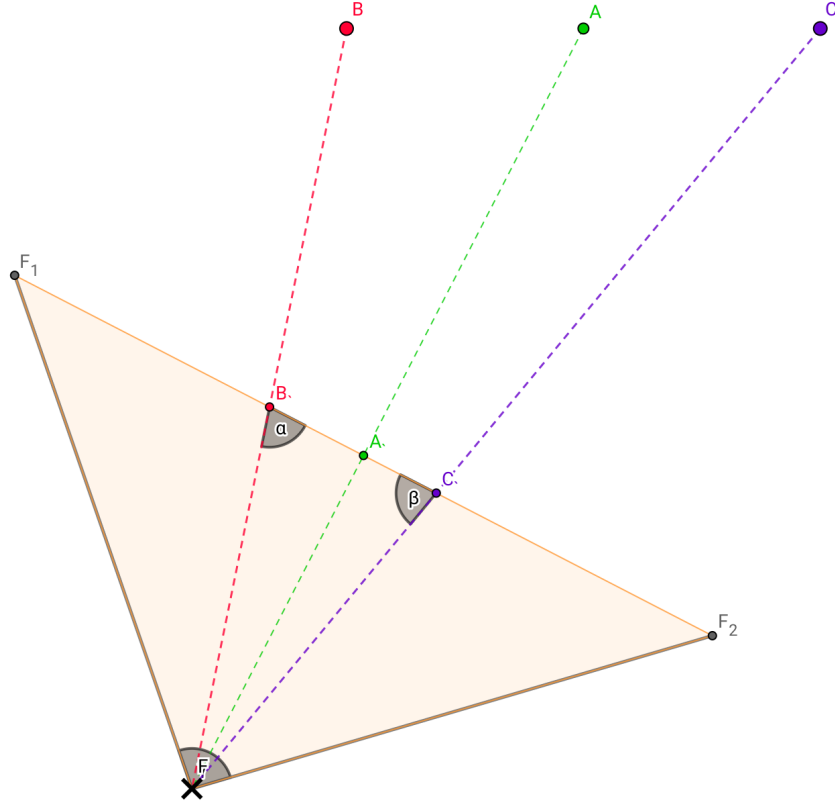
比如在实际情况中三根激光柱（红，绿，紫）的坐标 $(-1,0)$, $(0,0)$, $(1,0)$ ，实际中以米作为单位。摄像头依靠舵机自矫正拍摄角度，画面始终保持以绿色光线作为画面中心（容错区暂设为 ± 20 像素）。捕获到画面经过一系列通道分离，阈值过滤，腐蚀等预处理操作后，主要是获取到 $A_i B_i$ 像素距离与 $A_i C_i$ 像素距离



(图中 $\triangle F F_1 F_2$ 为摄像头可视范围， A_i, B_i, C_i 三点为摄像头捕获三线的像素画面) (1)

4. 算法设计

4.1 虚拟像素三角的双线夹角 α, β 计算



已知摄像头拍摄视角 γ (如 90度) 已知拍摄画面横向像素值 $|F_1 F_2|$ (如 1920 pixel) 可由图像处理获得像素长度 $|AB|, |AC|$ 求红线和紫线虚拟像素夹角 α, β

- 已知虚拟视觉三角比为等腰三角形，则两底角大小为：

$$\angle F F_1 F_2 = \angle F F_2 F_1 = \frac{\pi - \gamma}{2} \quad (2)$$

- 利用正切关系算出 α, β :

$$\tan\left(\frac{\pi - \gamma}{2}\right) = \frac{|A \cdot F|}{\frac{1}{2}|F_1 F_2|} \quad (3)$$

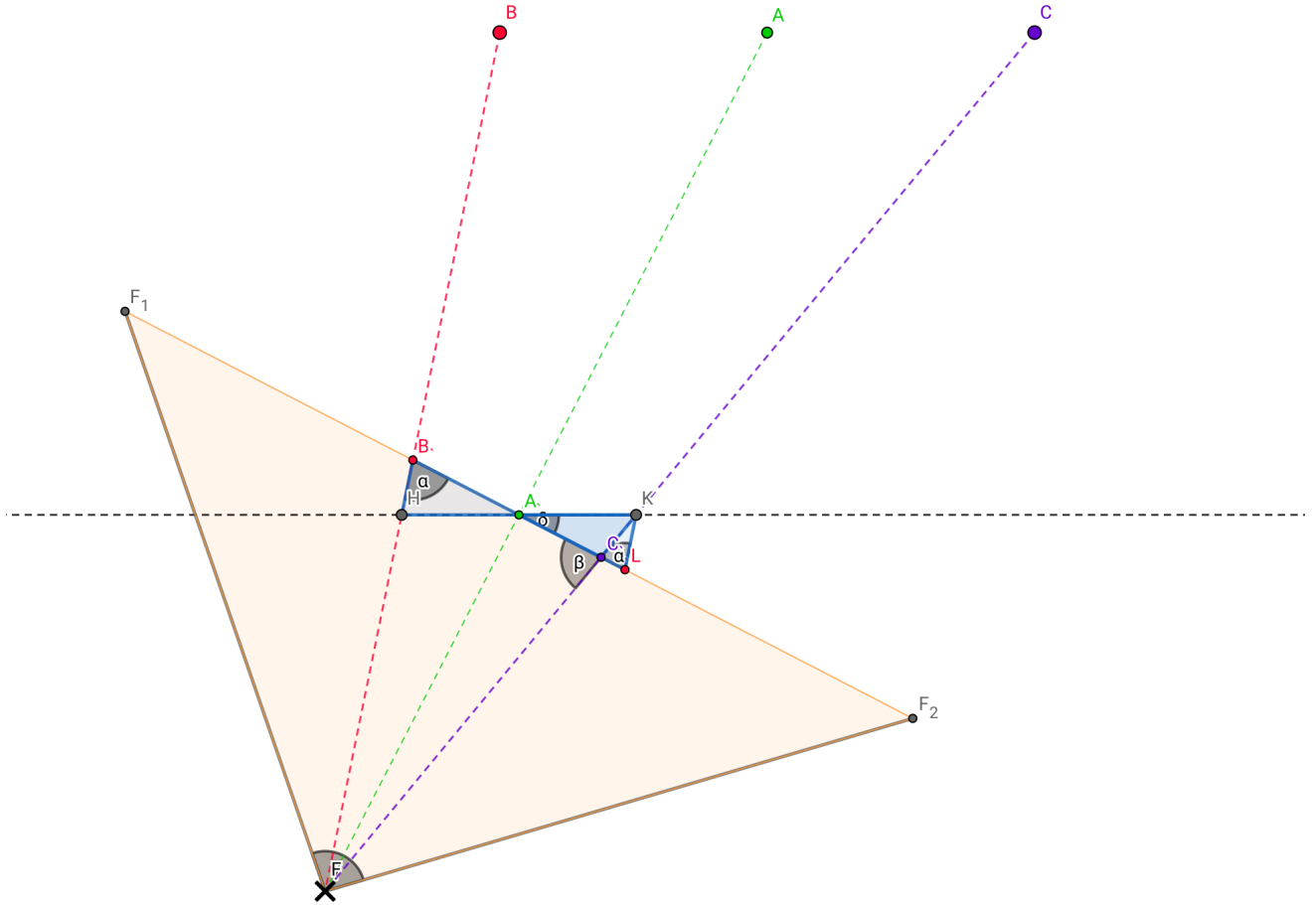
$$\tan \alpha = \frac{|A \cdot F|}{|A \cdot B|} \quad (4)$$

$$\tan \beta = \frac{|A \cdot F|}{|A \cdot C|} \quad (5)$$

$$\alpha = \arctan \frac{\frac{1}{2}|F_1 F_2| \tan\left(\frac{\pi - \gamma}{2}\right)}{|A \cdot B|} \quad (6)$$

$$\beta = \arctan \frac{\frac{1}{2}|F_1 F_2| \tan \frac{(\pi-\gamma)}{2}}{|A \cdot C|} \quad (7)$$

4.2 $A \cdot F$ 与水平方向的夹角 δ 计算



- 过 K 作 $KL \parallel B \cdot H$ 交 $F_1 F_2$ 于 L ，根据正弦定理解 $\triangle C \cdot KL$ ：

$$\frac{|A \cdot B| - |A \cdot C|}{\sin(\pi - \alpha - \beta)} = \frac{|C \cdot K|}{\sin \alpha} = \frac{|KL|}{\sin \beta} \quad (8)$$

$$|C \cdot K| = \frac{|A \cdot B| - |A \cdot C|}{\sin(\pi - \arctan \frac{\frac{1}{2}|F_1 F_2| \tan(\frac{\pi-\gamma}{2})}{|A \cdot B|} - \arctan \frac{\frac{1}{2}|F_1 F_2| \tan(\frac{\pi-\gamma}{2})}{|A \cdot C|})} \sin(\arctan \frac{\frac{1}{2}|F_1 F_2| \tan(\frac{\pi-\gamma}{2})}{|A \cdot B|}) \quad (9)$$

$$|KL| = \frac{|A \cdot B| - |A \cdot C|}{\sin(\pi - \arctan \frac{\frac{1}{2}|F_1 F_2| \tan(\frac{\pi-\gamma}{2})}{|A \cdot B|} - \arctan \frac{\frac{1}{2}|F_1 F_2| \tan(\frac{\pi-\gamma}{2})}{|A \cdot C|})} \sin(\arctan \frac{\frac{1}{2}|F_1 F_2| \tan(\frac{\pi-\gamma}{2})}{|A \cdot C|}) \quad (10)$$

- 根据余弦定理解 $\triangle A_1 K C_1$ 与 $\triangle A_1 K L$ 解得 δ :

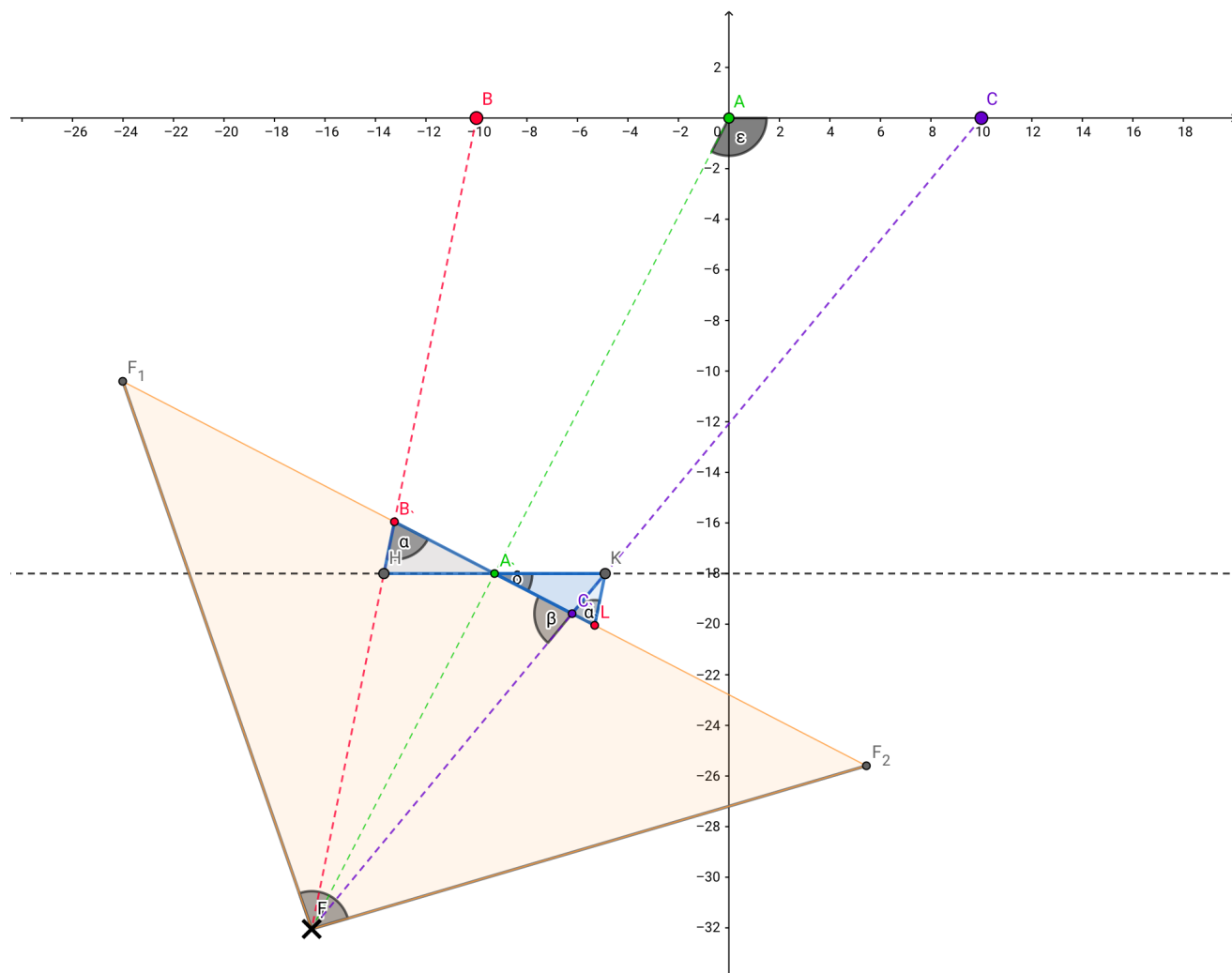
$$\cos \delta = \frac{|A_1 K|^2 + |A_1 C_1|^2 - |C_1 K|^2}{2|A_1 K||A_1 C_1|} \quad (11)$$

$$\cos \delta = \frac{|A_1 K|^2 + |A_1 L|^2 - |KL|^2}{2|A_1 K||A_1 L|} \quad (12)$$

- 联立解得:

$$\delta = \arccos \left(\frac{\frac{|A_1 C_1|(|A_1 B_1|^2 - |KL|^2) + |A_1 B_1|(|C_1 K|^2 - |A_1 C_1|^2)}{|A_1 B_1|^2 - |A_1 C_1|^2} + |A_1 C_1|^2 - |C_1 K|^2}{2|A_1 K||A_1 C_1|} \right) \quad (13)$$

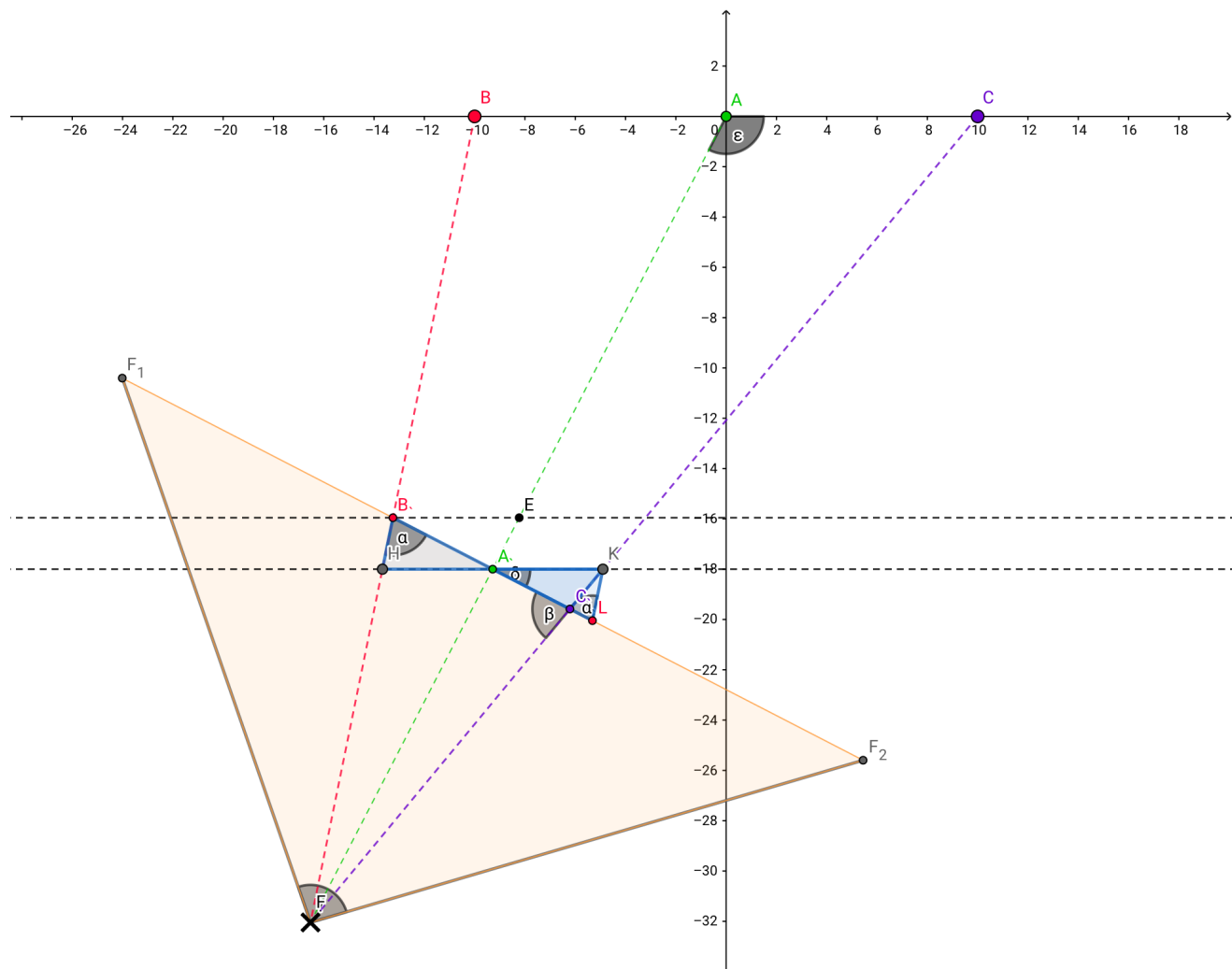
4.3 由所在象限确定 AF 与X轴正方向夹角 θ



- 以图第三象限为例

$$\varepsilon = \delta + \frac{\pi}{2} \quad (14)$$

4.4 虚拟像素空间与现实空间的相似变换



- 易得：

$$\angle B \cdot EA \cdot = \pi - \varepsilon \quad (15)$$

- 在 $Rt\Delta B \cdot EA \cdot$ 中，已知 $|A \cdot B \cdot|$ (经图像处理获得)，求虚拟像素距离 $|EF|$ 和 $|B \cdot E|$ (*：此处单位为 pixels)：

$$|EF| = |A \cdot F| + |A \cdot E| \quad (16)$$

$$= \frac{|F_1 F_2|}{2} \tan\left(\frac{\pi - \gamma}{2}\right) + |A \cdot B \cdot| \cot(\pi - \varepsilon) \quad (17)$$

$$|B \cdot E| = |A \cdot B \cdot| \csc(\pi - \varepsilon) \quad (18)$$

- 已知 $|AB|$ (实际两光柱间距离, 单位为: m), 根据 $\triangle ABF \sim \triangle EB_1F$, 进行虚拟像素空间与现实空间的相似变换, 求 $|AF|$ (无人机与原点距离):

$$\frac{|AF|}{|AB|} = \frac{|EF|}{|EB_1|} \quad (19)$$

(左 — 实际长度: m 右 — 虚拟像素: $pixels$)

$$|AF| = \frac{[\frac{1}{2}|F_1F_2|\tan(\frac{\pi-\gamma}{2}) + |A_1B_1|\cot(\pi-\varepsilon)] \cdot |AB|}{|A_1B_1|\csc(\pi-\varepsilon)} \quad (20)$$

5. 调试结果

经过一些仿真测试, 在理想环境下 (未考虑水域环境, 拍摄情况), 可以达到较为精准的相对坐标定位, 输出无人机相对于绿色光柱 (0, 0) 的 (x, y) 坐标。

```
phi_1(向量与x轴正方向夹角) = 174.92039213998544
s(与原点距离) = 39.485892495191386
(x, y) = (-39.33081720779282, -3.4960726406926987)

phi_2(向量与x轴正方向夹角) = 168.69006752597977
s(与原点距离) = 17.74754878398193
(x, y) = (-17.402903378454567, -3.480580675690918)

phi_3(向量与x轴正方向夹角) = 161.07535558394875
s(与原点距离) = 10.624999999999996
(x, y) = (-10.050675675675672, -3.4459459459459474)

phi_4(向量与x轴正方向夹角) = 179.949070431625
s(与原点距离) = 282375.111115769
(x, y) = (-282374.99956023565, -250.99999960489316)
```